

И. В. ЛАЗАРЕВ

**ДИСКРИМИНАЦИОННЫЙ МЕТОД ПОВЫШЕНИЯ ТОЧНОСТИ ЗВЕЗДНЫХ
КООРДИНАТОРОВ С ПЗС-МАТРИЦАМИ**

Предложен метод повышения точности угловых измерений положений звезд относительно центра оптической оси звездными координаторами с использованием дискриминационной характеристики.

Ключевые слова: звездные координаторы, ПЗС, дискриминационная характеристика, ошибка определения координат.

В настоящее время в системах управления ориентацией и стабилизацией космических аппаратов (КА) получили широкое распространение приборы, базирующиеся на визировании участков звездного поля оптико-электронными устройствами на базе приборов с зарядовой связью (ПЗС-матриц) — звездные координаторы [1—3]. Данные устройства позволяют в автоматическом режиме определять параметры ориентации с точностью до угловых секунд.

Упрощение и удешевление систем навигации и ориентации КА — постоянное требование космонавтики. К настоящему времени разработаны не усложняющие материально-техническую базу устройств измерения методы, позволяющие повысить точность угловых измерений направлений на точечные объекты (звезды) [2, 4]. Данные методы основаны на вычислении уточненных координат звезд при разной степени фокусировки пучка света от них. Расфокусированный пучок света всегда попадает на несколько элементов ПЗС-матрицы. Площадь сфокусированного пучка света сопоставима с площадью элемента, но этот пучок так же может засветить несколько соседних элементов.

В общем случае погрешность определения угловых координат зависит от размера матрицы, ее разрешения (количества элементов по вертикали и горизонтали), размера фоточувствительного элемента и поля зрения оптической системы. Можно показать, что вычислить угловое положение звезды относительно центра оптической оси прибора возможно, используя формулы:

$$\alpha = \arctg \left(x \frac{2 \operatorname{tg} \left(\frac{w_x}{2} \right)}{d_x} \right)^\circ ; \quad \beta = \arctg \left(y \frac{2 \operatorname{tg} \left(\frac{w_y}{2} \right)}{d_y} \right)^\circ , \quad (1)$$

где α и β — угловое положение звезды в горизонтальной и вертикальной плоскости соответственно; x и y — координаты центра звезды в плоскости ПЗС-приемника; w_x и w_y — угол поля зрения оптической системы в горизонтальной и вертикальной плоскости соответственно; d_x и d_y — ширина и высота светочувствительной области ПЗС-приемника. Геометрические координаты и размеры измеряются в миллиметрах.

При углах поля зрения меньше 20° формулы (1) упрощаются

$$\alpha = x \frac{w_x}{d_x} ; \quad \beta = y \frac{w_y}{d_y} . \quad (2)$$

Из соотношений (2) видно, что погрешность определения угловой координаты звезды зависит от погрешности определения соответствующих координат ее центра в плоскости ПЗС-матрицы. Положим, что ширина и высота ячейки матрицы одинаковы и равны a . Мак-

симальные отклонения оценок есть ошибка $\Delta x_{\max} = \Delta y_{\max} = 0,5a$. Соответствующие ошибки определения угловых координат могут быть рассчитаны так:

$$\begin{aligned} \Delta\alpha_{\max} &= \Delta x_{\max} \frac{w_x}{d_x}; \\ \Delta\beta_{\max} &= \Delta y_{\max} \frac{w_y}{d_y}. \end{aligned} \tag{3}$$

Существует метод определения координат центра светила, позволяющий уменьшить ошибки.

Рассмотрим погрешности, связанные с определением только горизонтальной координаты x : для вертикальной координаты y расчеты аналогичны.

На рис. 1 показан участок матрицы размером 2×2 ячейки. Ширина и высота ячейки равна a , ширина перегородок между ячейками не учитывается; x_0 и y_0 — исходные координаты центра пятна рассеяния. Относительный уровень электрического сигнала на элементах матрицы равен s_{ij} . Сигналы с четырех соседних элементов матрицы описываются уравнениями

$$\begin{aligned} s_{11} &= \int_{-a}^0 \int_0^a f(x, y; x_0, y_0) dx dy, \\ s_{12} &= \int_0^a \int_0^a f(x, y; x_0, y_0) dx dy, \\ s_{21} &= \int_{-a}^0 \int_{-a}^0 f(x, y; x_0, y_0) dx dy, \\ s_{22} &= \int_0^a \int_{-a}^0 f(x, y; x_0, y_0) dx dy, \end{aligned}$$

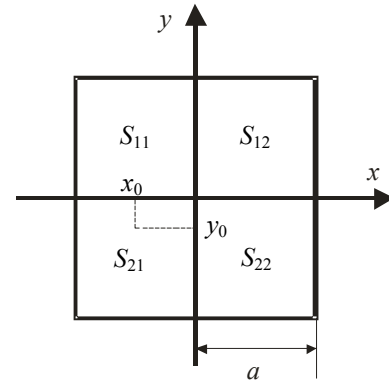


Рис. 1

где f — нормированная функция распределения энергии в пятне рассеяния,

$$\int_{-\infty}^{\infty} \int_{-\infty}^{\infty} f(x, y; x_0, y_0) dx dy = 1.$$

Пусть модель пятна рассеяния — двумерное распределение Гаусса с центром в точке x_0, y_0 . Радиусом пятна далее считается $r = 3\sigma$. Сигналы

$$\begin{aligned} s_1 = s_{11} + s_{21} &= \left\{ \Phi\left(-\frac{x_0}{\sigma}\right) - \Phi\left(-\frac{x_0 + a}{\sigma}\right) \right\} \left\{ \Phi\left(-\frac{y_0 - a}{\sigma}\right) - \Phi\left(-\frac{y_0 + a}{\sigma}\right) \right\} = \varphi_1(x_0)\psi(y_0), \\ s_2 = s_{12} + s_{22} &= \left\{ \Phi\left(-\frac{x_0 - a}{\sigma}\right) - \Phi\left(-\frac{x_0}{\sigma}\right) \right\} \left\{ \Phi\left(-\frac{y_0 - a}{\sigma}\right) - \Phi\left(-\frac{y_0 + a}{\sigma}\right) \right\} = \varphi_2(x_0)\psi(y_0). \end{aligned} \tag{4}$$

Суммарный сигнал

$$s = s_1 + s_2 = \left\{ \Phi\left(-\frac{x_0 - a}{\sigma}\right) - \Phi\left(-\frac{x_0 + a}{\sigma}\right) \right\} \left\{ \Phi\left(-\frac{y_0 - a}{\sigma}\right) - \Phi\left(-\frac{y_0 + a}{\sigma}\right) \right\} = \varphi(x_0)\psi(y_0).$$

Отношение любого из сигналов (4) к суммарному дает уравнение относительно неизвестной координаты центра пучка x_0

$$\phi(x_0) = \frac{s_1}{s} = \frac{s_2}{s} = \text{const}. \tag{5}$$

В общем виде уравнение (5) записывается так:

$$k = \phi(x_0). \quad (6)$$

Соотношение (6) можно назвать дискриминационной характеристикой [5].

На рис. 2 приведены дискриминационные характеристики при различной степени расфокусировки пучка рассеяния (1 — $r = 0,5a$; 2 — $r = 1,0a$; 3 — $r = 1,5a$). При $r > a$ дискриминационная характеристика (4) неплохо аппроксимируется линейной зависимостью. Например, при $r = 1,5a$

$$k \approx -0,6565x_0 + 0,5,$$

так что горизонтальную координату можно рассчитать по уравнению

$$x_0 = \frac{0,5 - k}{0,6565}. \quad (7)$$

Линейность и крутизна $|kr| = 0,6565$ дискриминационной характеристики определяют основные свойства оценки координат центра:

- оценка несмещенная;
- при нормальных погрешностях измерений величины k (за счет нормального шума)

погрешности оценивания координаты x_0 также нормальны.

Результаты моделирования алгоритма вычисления горизонтальной координаты (7) с добавлением гауссовой помехи (математическое ожидание $m_n = 0$, СКО σ_n) — экспериментальные плотности распределения оценок горизонтальной координаты при различных соотношениях сигнал—шум (ОСШ) $\frac{s_{\max}}{\sigma_n}$ приведены на рис. 3 (1 — ОСШ = 25, 2 — 50, 3 — 100).

Максимальный уровень сигнала $s_{\max} = 1$, что соответствует случаю засветки элемента сфокусированным пучком света. Оценки координат подтверждают несмещенность и соответствуют нормальной плотности распределения. Также из графиков видно, что $\Delta x_{\max} < 0,5a$, т.е. данный метод позволяет вычислить координаты центра звезды с точностью, превышающей разрешение ПЗС-матрицы.

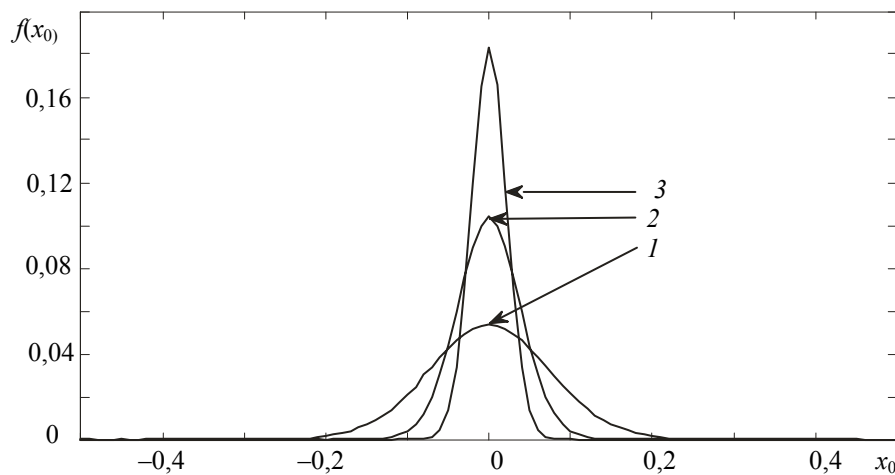


Рис. 2

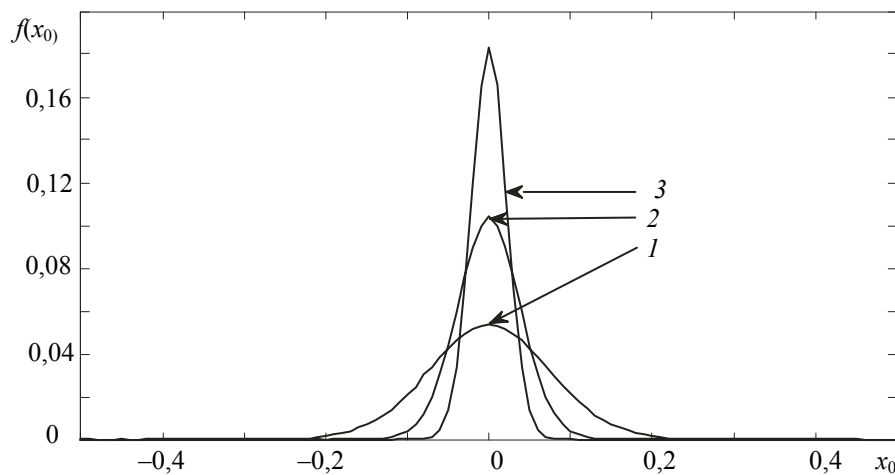


Рис. 3

Аппроксимация дискриминационной характеристики линейной зависимостью характеризует простоту уточнения координаты. Реализация данного метода в вычислительном устройстве носит тривиальный характер и практически не снижает быстродействия блока оп-

ределения координат звезд. В более сложных случаях дискриминационную характеристику можно аппроксимировать многочленами n -го порядка, но это приведет к повышению вычислительной сложности.

Рассмотрим моделирование алгоритма с использованием других моделей пятна рассеяния света: цилиндрическим

$$f(x, y) = \begin{cases} 0, & \sqrt{x^2 + y^2} > r, \\ \frac{1}{\pi r^2}, & \sqrt{x^2 + y^2} \leq r \end{cases}$$

и полусферическим пятном рассеяния

$$f(x, y) = \begin{cases} 0, & \sqrt{x^2 + y^2} > r, \\ \frac{3\sqrt{x^2 + y^2}}{2\pi r^3}, & \sqrt{x^2 + y^2} \leq r. \end{cases}$$

Дискриминационные характеристики аппроксимируются линейными зависимостями. При этом к ошибке определения координаты добавляется ошибка аппроксимации. Максимальное отклонение оценки координаты и в этих случаях $\Delta x_{\max} \approx 3\sigma$.

В таблице сведены результаты моделирования. Строки таблицы разделены на три группы: 1 — для гауссовой модели пятна рассеяния, 2 — для цилиндрического пятна рассеяния, 3 — для полусферического пятна рассеяния. Исходные координаты x задавались в интервале от $-0,5$ до $+0,5$ с шагом $0,1$, координата $y = 0$. Для каждой координаты центра пучка просчитывались $N = 100$ сигналов с добавлением гауссовой помехи.

Результаты моделирования алгоритма оценки координат с помощью дискриминационной характеристики

Группа	ОСШ	$r = 0,5a$	$r = 1,0a$	$r = 1,5a$	$r = 2,0a$
1	10	$0,41a$	$0,45a$	$> 0,5a$	$> 0,5a$
	25	$0,25a$	$0,17a$	$0,23a$	$0,40a$
	50	$0,23a$	$0,11a$	$0,12a$	$0,20a$
	100	$0,22a$	$0,09a$	$0,07a$	$0,10a$
2	10	$0,37a$	$> 0,5a$	$> 0,5a$	$> 0,5a$
	25	$0,15a$	$0,29a$	$> 0,5a$	$> 0,5a$
	50	$0,10a$	$0,13a$	$> 0,5a$	$> 0,5a$
	100	$0,10a$	$0,15a$	$> 0,5a$	$> 0,5a$
3	10	$0,37a$	$> 0,5a$	$> 0,5a$	$> 0,5a$
	25	$0,18a$	$0,22a$	$> 0,5a$	$> 0,5a$
	50	$0,14a$	$0,12a$	$0,40a$	$> 0,5a$
	100	$0,13a$	$0,06a$	$0,23a$	$> 0,5a$

Как видно из таблицы, данный алгоритм позволяет повысить точность измерений координат центра пучка в несколько раз. Степень повышения точности преимущественно зависит от соотношения сигнал—шум и размера пятна рассеяния света.

Данный алгоритм применим и к реальным устройствам. Ниже приведены ключевые характеристики звездного координатора БОКЗ [3]:

- фокусное расстояние объектива — 60 мм;
- число элементов ПЗС — 512×512 ;
- размер элемента ПЗС — 16×16 мкм;
- максимальная регистрируемая звездная величина — $+8$.

Так как ширина и высота ячейки равны, число горизонтальных и вертикальных элементов одинаково, рассчитаем погрешность только для горизонтальной координаты. Ширина

светочувствительной области ПЗС-матрицы $d_x \approx 8,2$ мм, угол поля зрения в горизонтальной плоскости $w_x = 7,8^\circ$. Тогда максимальное отклонение оценки координаты (без использования алгоритма уточнения координат), рассчитанное по (3), $\Delta\alpha_{\max} \approx 27''$. С использованием алгоритма уточнения координат при соотношении сигнал—шум 100 (что примерно соответствует светилам звездной величины +6—+7) в предположении, что пучок рассеяния света внутри пятна освещенности распределен по двумерному закону Гаусса ($r = 3\sigma \approx 24$ мкм), ошибка уменьшается до $\Delta\alpha_{\max} \approx 0,3''$.

Таким образом, очевидны возможности усовершенствования характеристик звездных координаторов. В работе показана принципиальная возможность повышения точности звездных координаторов сверх того, что позволяет разрешение ПЗС-матрицы. Дальнейшие исследования возможны в двух направлениях: использование более сложных уравнений для аппроксимации дискриминационной характеристики или моделирование шума ПЗС-матрицы, близкого к шуму реальных устройств.

СПИСОК ЛИТЕРАТУРЫ

1. *Малинин В. В., Фалеев А. В.* Оптико-электронные системы ориентации по звездному полю // *Оптич. журн.* 1996. № 10. С. 28—31.
2. *Малинин В. В.* Моделирование и оптимизация оптико-электронных преобразователей с фотоприемными матрицами. Новосибирск: Наука, 2005. 256 с.
3. *Аванесов Г. А., Зиман Я. Л., Полянский И. В., Форш А. А.* Телевизионные звездные координаторы (Краткий обзор). М., 2001.
4. *Аванесов Г. А., Зиман Я. Л., Красиков В. А., Снеткова Н. И., Собчук В. Г., Форш А. А.* Алгоритмы определения ориентации космического аппарата по бортовым астроизмерениям // *Изв. вузов. Приборостроение.* 2003. Т. 46, № 4. С. 31—37.
5. *Митяшев Б. Н.* Определение временного положения импульсов при наличии помех. М.: Сов. радио, 1962. 199 с.

Сведения об авторе

Игорь Владимирович Лазарев

— Санкт-Петербургский государственный университет аэрокосмического приборостроения, кафедра информационно-сетевых технологий; ассистент; E-mail: strider2038@rambler.ru

Рекомендована ГУАП

Поступила в редакцию
04.04.11 г.